



波浪中浮体流体动力系数的数值计算*

李德筠 沈国光
(天津大学)

摘要 本文提出了水鼓在波浪中运动的一个初步数学模型。该模型是基于源汇分布的有限边界元法和使用了 Green 函数的级数表达式。所得结果与文献的结论十分吻合。

随着海洋工程的蓬勃发展,提出了愈来愈多的各种形式浮体在波浪中的运动问题。作为流体力学的一个课题,当用有限边界元求解时,必须依据表达式相当复杂的振荡点源 Green 函数。

本文是为解决水鼓在波浪中的动力响应问题而进行的研讨与计算,可为浮体设计提供参数。

一、问题的基本提法

在线化的微幅波假定下,对零航速自由浮体在波浪中受激运动的流场速度势作如下分解。

$$\begin{aligned}\Phi(x, y, z, t) &= \Phi_w + \Phi_d + \Phi_r \\ &= R_e \{ \phi(x, y, z) \cdot e^{-i\omega t} \} \\ &= R_e \left\{ \sum_{j=1}^6 \xi_j \phi_j + A(\phi_0 + \phi_r) \cdot e^{-i\omega t} \right\}\end{aligned}\quad (1)$$

式中, Φ_w , Φ_d , Φ_r 分别为入射波势、绕射势、辐射势。 A 为入射波幅; $\xi_j (j = 1, 2, \dots, 6)$ 为对应自由度上的振荡幅值。

选用的坐标系如图 1 所示。

各组元成分的速度势应满足以下条件。

$$[L] \quad \nabla^2 \phi_j = 0, \quad j = 0, 1, 2, \dots, 7 \quad (2)$$

$$\begin{aligned}[F] \quad \phi_{jz} - \nu \phi_j &= 0, \quad j = 0, 1, 2, \dots, 7, \\ z &= 0, \quad \nu = \frac{\omega^2}{g}\end{aligned}\quad (3)$$

$$\begin{aligned}[B] \quad \left. \frac{\partial \phi_j}{\partial n} \right|_{S_0} &= -i\omega n_j, \quad j = 1, 2, \dots, 6, \\ \left. \frac{\partial (\phi_0 + \phi_r)}{\partial n} \right|_{S_0} &= 0\end{aligned}\quad \left. \right\} \quad (4)$$

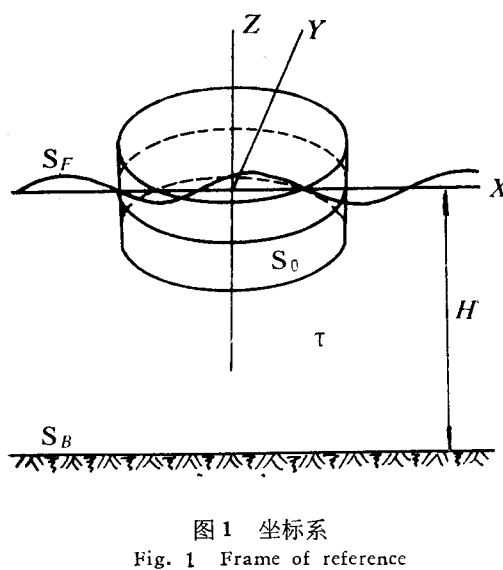


图 1 坐标系

Fig. 1 Frame of reference

* 本文承陶建华教授的具体帮助和赵子丹教授的精心指点,在此一并致谢。

$$[H] \quad \frac{\partial \phi_i}{\partial n} \Big|_{z=-H} = 0, \quad i = 0, 1, 2, \dots, 7, \quad H \text{ 为水深} \quad (5)$$

$$[R] \quad \lim_{R \rightarrow \infty} \sqrt{R} \left(\frac{\partial \phi_i}{\partial R} - i\nu \phi_i \right) = 0, \quad i = 1, 2, \dots, 7, \quad R = \sqrt{x^2 + y^2} \quad (6)$$

若取单位振幅的辐射势, 则表达式为:

$$\phi_i(x, y, z) = -i\omega \phi^{(i)}(x, y, z), \quad i = 1, 2, \dots, 6 \quad (7)$$

$$\phi^{(i)} = \phi_1^{(i)} + i\phi_2^{(i)} \quad (8)$$

对某一辐射模式, 当取振荡运动表达式为:

$$\begin{aligned} x_i &= R_e \{ \xi_i \cdot e^{-i\omega t} \} = \xi_i \cdot \cos \omega t; \\ \dot{x}_i &= R_e \{ -i\omega \xi_i \cdot e^{-i\omega t} \} = -\omega \xi_i \cdot \sin \omega t \\ \Phi_r &= R_e \{ \xi_i \phi_i e^{-i\omega t} \} \\ &= R_e \{ -i\omega \xi_i (\phi_1^{(i)} + i\phi_2^{(i)}) \cdot e^{-i\omega t} \} \\ &= R_e \{ (\dot{x}_i - i\omega x_i) (\phi_1^{(i)} + i\phi_2^{(i)}) \} \\ &= \dot{x} \phi_1^{(i)} + \omega x_i \phi_2^{(i)} \end{aligned} \quad (9)$$

依据 Green 第二公式, 当考虑 P 点在流场内部时, 则:

$$\phi^{(i)}(P) = -4\pi \int_{S_0 + S_F + S_R + S_B} (\phi^{(i)}(Q) \frac{\partial G(P, Q)}{\partial n} - G(P \cdot Q) \frac{\partial \phi^{(i)}(Q)}{\partial n}) ds \quad (10)$$

式中, n 为流场外法向单位矢量; $\phi^{(i)}(P)$ 为流场中任意点的辐射势; $G(P, Q)$ 为单位强度振荡点源的 Green 函数, 它满足 Laplace 方程和除物面以外的边界条件。

由问题的边界条件得知, 其中对积分有贡献的唯有物面 S_0 。

若在物体内部虚构一个流场, 设 $\phi^{(i)}(P)$ 为内场解。

当选择在物面上 $\phi^{(i)} = \psi^{(i)}$, 称 $\frac{\partial \phi}{\partial n} - \frac{\partial \psi}{\partial n} = \sigma(Q)$ 为点源强度的分布函数时, 最后可得:

$$\phi^{(i)}(P) = \frac{1}{4\pi} \int_{S_0} \sigma(Q) \cdot G(P \cdot Q) \cdot ds \quad (11)$$

无论 P 点在流场内部还是外部或物面边界上, 流场辐射势 $\phi^{(i)}(P)$ 则由替代物面存在的点源强度的分布函数 $\sigma(Q)$ 所决定。

二、Green 函数和面元诱速的计算

单位强度振荡点源 Green 函数的级数表达式为:

$$\begin{aligned} G &= W \cdot ck \cdot (\zeta + H) \cdot ck \cdot (z + H) [Y_0(kr) - iJ_0(kr)] \\ &+ 4 \sum_{m=2}^M W_k \cos(\mu_k(z + H)) \cos(\mu_k(\zeta + H)) k_0(\mu_k r) \end{aligned} \quad (12)$$

式中,

$$\begin{aligned} r &= \sqrt{(x - \xi)^2 + (y - \eta)^2}; \quad W = \frac{2\pi(\nu^2 - k^2)}{k^2 H - \nu^2 H + \nu}; \\ W_k &= \frac{\mu_k^2 + \nu^2}{(\mu_k^2 + \nu^2)H - \nu}; \quad \nu = \frac{\omega^2}{g} = kth(kH). \end{aligned}$$

J_0 , Y_0 , K_0 分别为零阶第一类、第二类和修正的第二类 Bessel 函数。

μ_k 是方程 $\mu_k \operatorname{tg}(\mu_k H) + \nu = 0$ 的根。注意到 μ_k 为多值且逐个单调递增, 有:

$$\left(K - \frac{1}{2}\right)\pi < \mu_k H < K\pi$$

而 K_0 是单调递减函数, $K_0(5) = 0.0038$ 。如果 $\mu_k H = \frac{5}{r} H < K\pi$, 并以 $M = \left[1.5 + \frac{5H}{\pi r}\right]$ ([] 表示取整), 当 $K < M$ 后, $K_0(\mu_k r) < 0.0038$ 无疑。现就以此 M 作为级数项数的截取标准。

利用物面条件, 可以得出确定点源强度 $\sigma(Q)$ 的积分方程:

$$\frac{\partial \phi^{(j)}(P)}{\partial n} = V_n = \frac{1}{4\pi} \int_{S_0} \sigma(Q) \cdot \frac{\partial G(P \cdot Q)}{\partial n} \cdot ds \quad (13)$$

现将在 S_0 上的积分分解为两部分: $S_0 = \delta S + (S_0 - \delta S)$, 其中 dS 为包括过 P 点在 S_0 上的垂足 P_0 点的一小面积, 当 P 点趋向于 P_0 点时, 在 δS 上的源汇所诱导的法向速度为:

$$V_n = \frac{1}{2} \sigma(Q) = \frac{1}{4\pi} \int_{\delta S} \sigma(Q) \frac{\partial G}{\partial n} \cdot ds$$

于是得到确定 $\sigma(Q)$ 的积分方程为:

$$\frac{\partial \phi^{(j)}(P_0)}{\partial n} = n_i = \frac{1}{2} \sigma(Q) + \frac{1}{4\pi} \int_{S_0 - \delta S} \sigma(Q) \cdot \frac{\partial G(P_0, Q)}{\partial n} \cdot ds \quad (14)$$

经离散化后, 化为代数方程:

$$\sigma_i^{(j)} + \sum_{k=1}^N \alpha_{ik} \sigma_k^{(j)} = 2n_{ji} \quad i = 1, 2, \dots, N \quad (15)$$

$$\alpha_{ik} = \frac{1}{2\pi} \int_{\Delta S_k} \frac{\partial G}{\partial n} ds = \frac{1}{2\pi} \int_{\Delta S_k} \left(\frac{\partial G}{\partial x} n_1 + \frac{\partial G}{\partial y} n_2 + \frac{\partial G}{\partial z} n_3 \right) ds$$

解得 $\sigma_i^{(j)}$ 代入 (11) 式, 流场辐射势的离散形式为

$$\phi_j^{(j)}(P) = \sum_{k=1}^N \frac{\sigma_k^{(j)}}{4\pi} \int_{\Delta S_k} G(P \cdot Q) \cdot ds \quad (16)$$

而

$$\bar{V} = \begin{Bmatrix} \phi_x \\ \phi_y \\ \phi_z \end{Bmatrix} = \frac{1}{4\pi} \int_{S_0} \sigma(Q) \begin{pmatrix} \frac{\partial}{\partial x} \\ \frac{\partial}{\partial y} \\ \frac{\partial}{\partial z} \end{pmatrix} G \cdot ds = \sum_{k=1}^N \frac{\sigma_k}{4\pi} \int_{\Delta S_k} \begin{pmatrix} \frac{\partial G}{\partial x} \\ \frac{\partial G}{\partial y} \\ \frac{\partial G}{\partial z} \end{pmatrix} ds \quad (17)$$

在边界元计算中采用局部坐标系, 它与总体坐标系的关系为:

$$\begin{pmatrix} xx \\ yy \\ zz \end{pmatrix}_{\text{局部}} = \begin{pmatrix} e_{11} & e_{12} & e_{13} \\ e_{21} & e_{22} & e_{23} \\ e_{31} & e_{32} & e_{33} \end{pmatrix} \begin{pmatrix} x - x_0 \\ y - y_0 \\ z - z_0 \end{pmatrix}_{\text{总体}} \quad (18)$$

前述 G 的表达式是在总体坐标系中给出的, 现要在局部坐标系中进行计算:

$$\begin{aligned} \frac{\partial G}{\partial xx} &= W c h k (\xi + H) \{ s h k (z + H) k e_{13} [Y_0 - i J_0] \\ &\quad + c h k (z + H) (\dot{Y}_0 - i \dot{J}_0) \frac{k}{r} ((x - \xi) e_{11} + (y - \eta) e_{12}) \} \\ &\quad + 4 \sum_{m=2}^M W_m \cos(\mu_m (\xi + H)) (-\sin(\mu_m (z + H)) \mu_m e_{13} K_0 \end{aligned}$$

$$+ \cos(\mu_k(z + H)) \dot{K} \frac{\mu_k}{r} ((x - \xi)e_{11} + (y - \eta)e_{12})) \quad (19)$$

至于 $\frac{\partial G}{\partial yy}$ 及 $\frac{\partial G}{\partial zz}$, 其表达式只是在 e_{ij} 系数上有异, 在程序中引用了 D_1, D_2, D_3 , 它们对应于 $\frac{\partial G}{\partial xx}, \frac{\partial G}{\partial yy}, \frac{\partial G}{\partial zz}$ 中的 e_{ij} , 如表中所示。

	D_1	D_2	D_3
$\frac{\partial G}{\partial xx}$	e_{13}	e_{11}	e_{12}
$\frac{\partial G}{\partial yy}$	e_{23}	e_{21}	e_{22}
$\frac{\partial G}{\partial zz}$	e_{33}	e_{31}	e_{32}

无论计算 G 还是计算诱速 G_{xx}, G_{yy}, G_{zz} 都需在每个面元上进行, 通常采用高斯积分。

Bessel 函数是以表的形式先行输入计算机, 利用 Lagrange 插值方法, 可以同时给出其函数值与导数值。

当对面元自身 $I = J$ 计算时, Y_0, K_0 出现奇性, 但它们在 $r = 0$ 的奇性都是积分可去的, 采用适当技巧, 可以顺利克服。

三、附连质量系数及阻尼系数

流体动力为:

$$f_{ij} = -\rho \int_{s_0} \phi_i \frac{\partial \phi_j}{\partial n} ds = \omega^2 a_{ij} + i\omega b_{ij} \quad (20)$$

现在 $\phi_i = -i\omega \phi^{(i)}$; $\frac{\partial \phi^{(i)}}{\partial n} \Big|_{s_0} = n_i$

则有

$$\begin{aligned} f_{ij} &= -\rho \int_{s_0} (-i\omega) \cdot \phi^{(i)} \cdot (-i\omega) n_i \cdot ds \\ &= \rho \int_{s_0} n_i \omega^2 \phi^{(j)} \cdot ds \end{aligned}$$

其中

$$\phi^{(j)} = \phi_1^{(j)} + i\phi_2^{(j)}$$

则附连质量系数:

$$a_{ij} = \rho \int_{s_0} n_i R_0 \phi^{(j)} ds = \rho \sum_{k=1}^N n_i \int_{\Delta s_k} \phi_2^{(j)} ds \quad (21)$$

阻尼系数:

$$b_{ij} = \rho \int_{s_0} n_i \omega \cdot I_m \phi^{(j)} ds = \rho \omega \sum_{k=1}^N n_i \int_{\Delta s_k} \phi_2^{(j)} ds \quad (22)$$

无量纲化后:

$$\left. \begin{aligned} \bar{a}_{ij} &= \frac{a_{ij}}{\rho a^k} \quad k = 3; \quad i, j = 1, 2, 3 \\ \bar{b}_{ij} &= \frac{b_{ij}}{\rho \omega a^k} \quad k = 5; \quad i, j = 4, 5, 6 \end{aligned} \right\} \quad (23)$$

四、力和响应的计算

物面压强为:

$$p = -\rho \left(\frac{\partial \Phi}{\partial t} + gz \right)$$

$$= -\rho R_e \left\{ \left(\sum_{j=1}^6 \xi_j \phi_j + A(\phi_0 + \phi_7) \right) \cdot (-i\omega) \cdot e^{-i\omega t} \right\} - \rho g z \quad (24)$$

流体静恢复力为:

$$\begin{aligned} F_i &= (\rho V - m)g\delta_{i3} + (mY_G - \rho V Y_B)g\delta_{i4} \\ &\quad - (mX_G - \rho V X_B)g\delta_{i5} - \sum_{j=1}^6 C_{ij}\xi_j \end{aligned} \quad (25)$$

下标 B, G 分别表示浮心和重心; C_{ij} 为静恢复力系数; δ_{ij} 为 Kroenecker 函数。单纯纵荡时, $F_1 = -C_{11}\xi_1 = 0$; $C_{11} = 0$ 。单纯升沉时, $F_3 = (\rho V - m)g - C_{33}\xi_3$; $C_{33} = \rho g s_0$

阻尼和附加惯性力:

$$F_i = -\sum_{j=1}^6 (a_{ij}\dot{U}_j + b_{ij}U_j) \quad (26)$$

波浪力:

$$F_{exi} = R_e \{ A e^{-i\omega t} X_i \} \quad (27)$$

$$\begin{aligned} X_i &= -\rho \int_{s_0} (\phi_0 + \phi_7) \frac{\partial \phi_i}{\partial n} ds \\ &= -\rho \int_{s_0} \phi_0 \frac{\partial \phi_i}{\partial n} ds - \rho \int_{s_0} \phi_7 \frac{\partial \phi_i}{\partial n} ds \\ &= X_{iFk} + X_{iWR} \end{aligned} \quad (28)$$

X_{iFk} 和 X_{iWR} 分别为 Froude Krylov 力和绕射力。式中,

$$X_{iFk} = -\rho \sum_{k=1}^N \phi_0(P_k) \cdot (-i\omega)n_i(P_k) \cdot \Delta S_k \quad (29)$$

$$\begin{aligned} X_{iWR} &= -\rho \int_{s_0} \phi_7 \frac{\partial \phi_i}{\partial n} ds = -\rho \int_{s_0} \phi_i \frac{\partial \phi_7}{\partial n} ds = \rho \int_{s_0} \phi_i \frac{\partial \phi_0}{\partial n} ds \\ &= \rho \sum_{k=1}^N (-i\omega)\phi_i^{(j)} \frac{\partial \phi_0}{\partial n} \cdot \Delta S_k \\ &= \rho \sum_{k=1}^N (-i\omega)(\phi_1^{(j)} + i\phi_2^{(j)}) \left(\frac{\partial \phi_0}{\partial x} n_x + \frac{\partial \phi_0}{\partial z} n_z \right) \Delta S_k \end{aligned} \quad (30)$$

由此当辐射势 $\phi^{(j)}$ 一经求出, 波浪力 F_{exi} 即可求出。

已知入射波 $\phi_0 = -i \frac{g}{\omega} \frac{ch k(H+z)}{ch k H} \cdot e^{ikx}$, 则

$$\left\{ \begin{aligned} F_{iFk} &= \frac{\rho g A}{ch k H} \sum_{k=1}^N ch k(H+z)n_i \cdot \Delta S_k \cdot \cos(kx - \omega t) \end{aligned} \right. \quad (31)$$

$$\left\{ \begin{aligned} F_{iWR} &= R_e \left\{ -i\omega \rho \sum_{k=1}^N (\phi_1^{(j)} + i\phi_2^{(j)}) \left[-i \frac{g A}{ch k H} (ik ch k(H+z) \cdot e^{ikx} \cdot n_x \right. \right. \\ &\quad \left. \left. + k sh k(H+z) \cdot e^{ikx} \cdot n_z \right] \cdot e^{-i\omega t} \cdot \Delta S_k \right\} \\ &= -k \frac{\rho g A}{ch k H} \sum_{k=1}^N [\phi_1^{(j)} \cdot sh k(H+z)n_z - \phi_2^{(j)} ch k(H+z)n_x) \\ &\quad \cdot \cos(kx - \omega t) - (\phi_1^{(j)} \cdot ch k(H+z)n_x + \phi_2^{(j)} sh k(H+z)n_z) \\ &\quad \cdot \sin(kx - \omega t)] \cdot \Delta S_k \end{aligned} \right. \quad (32)$$

从式中可见, Froude Krylov 力与入射波不发生相位差, 而绕射力与入射波则会出现相位差。

定义无量纲波浪力系数

$$\left\{ \begin{array}{l} C_j = \frac{F_{exi}}{\rho g a^2 A} \cdot e^{i\delta_j} \quad j = 1, 2, 3 \\ C_j = \frac{F_{exi}}{\rho g a^3 A} \cdot e^{i\delta_j} \quad j = 4, 5, 6 \end{array} \right. \quad (33)$$

$$\left\{ \begin{array}{l} C_j = \frac{F_{exi}}{\rho g a^2 A} \cdot e^{i\delta_j} \quad j = 1, 2, 3 \\ C_j = \frac{F_{exi}}{\rho g a^3 A} \cdot e^{i\delta_j} \quad j = 4, 5, 6 \end{array} \right. \quad (34)$$

式中, a 为物体尺度; δ_i 为力相对于入射波峰的飘角。

由运动方程

$$\sum_{i=1}^6 \xi_i [-\omega^2(M_{ii} + a_{ii}) - i\omega b_{ii} + C_{ii}] = AX_i \quad (35)$$

可得响应:

$$\xi_i = A \cdot \sum_{j=1}^6 [C_{ij}]^{-1} X_i \quad (36)$$

传递系数为:

$$Z_i = \frac{\xi_i}{A} \quad (37)$$

对于升沉运动:

$$Z_3 = \frac{X_3}{C_{33}} = \frac{X_3}{-\omega^2(a_{33} + M) - i\omega b_{33} + C_{33}} \quad (38)$$

对于纵荡运动:

$$Z_1 = \frac{X_1}{C_{11}} = \frac{X_1}{-\omega^2(a_{11} + M) - i\omega b_{11}} \quad (39)$$

对于纵摇运动:

$$Z_5 = \frac{x_5}{C_{55}} = \frac{x_5}{-\omega^2(I_{55} + a_{55}) - i\omega b_{55} + C_{55}} \quad (40)$$

可见响应 ξ_i 与波浪力之间亦存在相位差 ϵ_i , 如果以 β_i 表示响应 ξ_i 与入射波峰之相位差, 则

$$\beta_i = \delta_i + \epsilon_i \quad (41)$$

五、计算实例与讨论

首先, 在不同波长和水深情况下, 对半径为 $a = 3\text{m}$ 的半球体进行计算, 然后对半径为 $a = 3\text{m}$ 淹没高度为 1.5m 的柱形水鼓进行计算。

图 2、图 3 分别给出了 $1/4$ 球表面、 $1/4$ 水鼓表面板块划分示意图。

图 4、图 5 分别绘出了半球和水面下水鼓部分的无量纲附连质量系数 \bar{a} 或阻尼系数 \bar{b} 与参数 $\bar{\omega} = \frac{\omega^2 a}{g}$ 的关系曲线。图上的标记点是文献 [4] 的对应值。结果表明, 在所计算的参数范围内其结果与已有结果是吻合的。当波长 λ 变小, 则参数 $\bar{\omega}$ 变大时差异增大, 这是由于板块个数相对小波长已不足以精确描述流场特性所致。

一个有趣的结果是当水鼓纵摇时, \bar{a}_{55} 是单位角速度 $\dot{X}_5 = \omega_y$ 所对应的量, 它不随 $\bar{\omega}$ 变化, \bar{b}_{55} 与兴波的能量向外辐射相关, 当水鼓作升沉运动时, 其兴波作用明显, 故 \bar{b}_{33} 较大, 且随 $\bar{\omega}$ 变小而减小; 但当水鼓纵摇时, 在理想流体的假定下, 水鼓的纵摇运动只影响近场, 并且相对于波传播

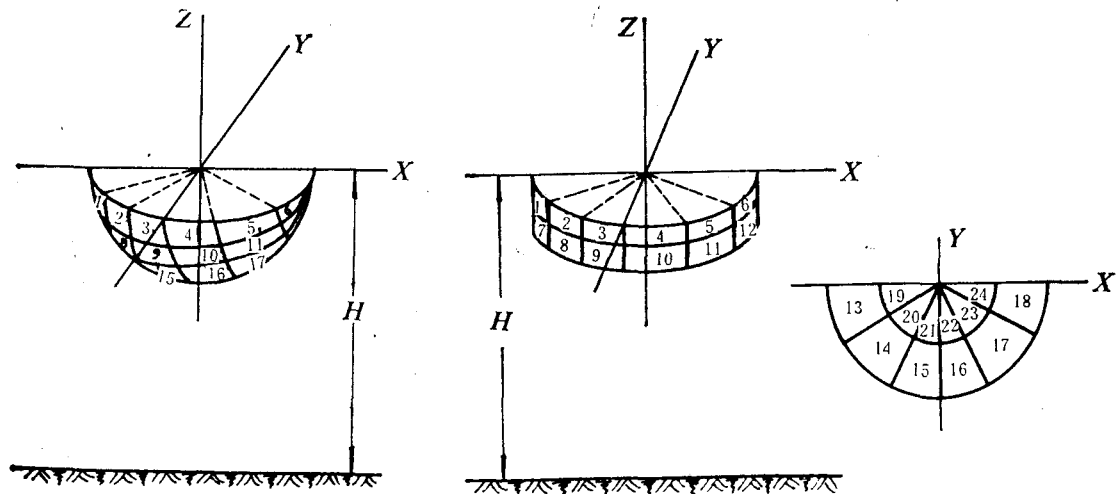


图 2 球 1/4 表面板块分割

Fig. 2 Division immersed surface of sphere into panels

图 3 水鼓 1/4 表面板块分割

Fig. 3 Division inmersed surface of buoyant drum into panels

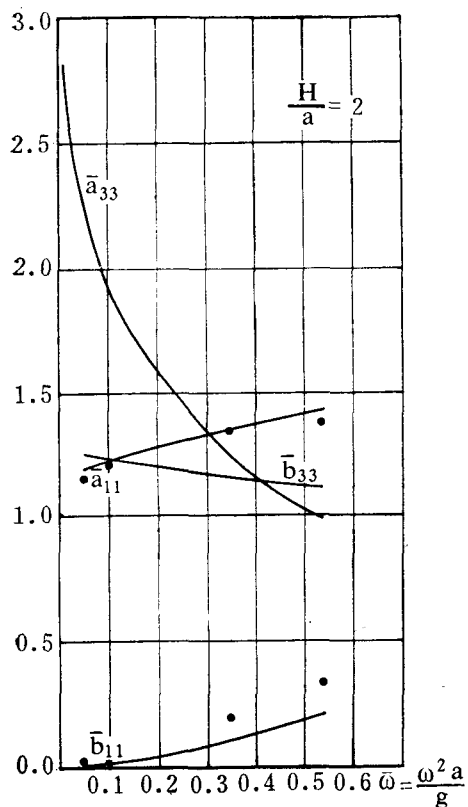
图 4 球 $\bar{\omega}$ — \bar{a}_{ij} , $\bar{\omega}$ — \bar{b}_{ij} 曲线

Fig. 4 Relationships between $\bar{\omega}$ and \bar{a}_{ij} , or between $\bar{\omega}$ and \bar{b}_{ij} for sphere

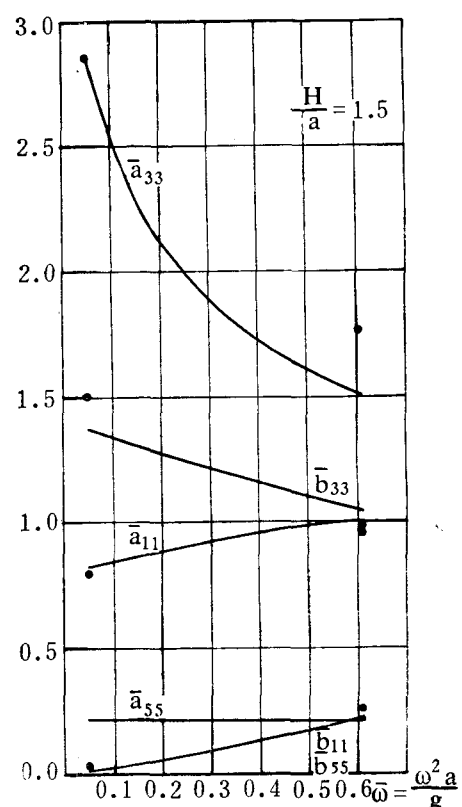
图 5 水鼓 $\bar{\omega}$ — \bar{a}_{ij} , $\bar{\omega}$ — \bar{b}_{ij} 曲线

Fig. 5 Relationships between $\bar{\omega}$ and \bar{a}_{ij} , or between $\bar{\omega}$ and \bar{b}_{ij} for buoyant drum

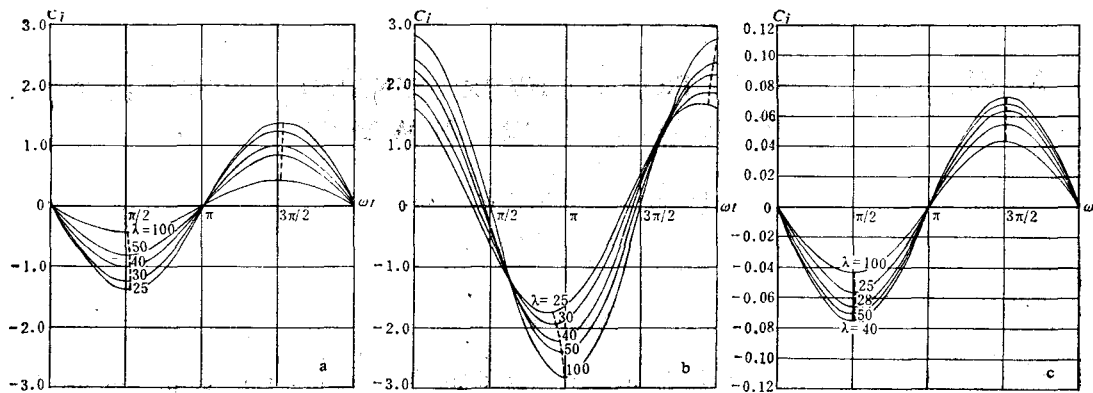


图 6 水鼓 $C_i-\omega t$ 曲线
a. 水鼓纵荡; b. 水鼓升沉; c. 水鼓纵摇
Fig. 6 Relationships between C_i and ωt

方向的前后两部分,对流场某一点的作用相反,对远场的影响则趋于消失,所以 $\bar{b}_{ss} = 0$ 。

图 6 中, a, b, c 分别给出水鼓在纵荡、升沉及纵摇时波浪力系数 C_i 在一个周期内的变化。每条振荡曲线的极值即为对应参数 ω 下的波浪力之幅值,而其极值点的水平位置,则标示出波浪力相对于入射波的相位差 δ_i 。

应用 39—41 式,只要给定物体质量和惯性矩,就可以求出相应的传递系数 Z_i 。

因为 $C_{11} = 0$, 纵荡传递函数无共振点,随 ω 的加大, Z_i 只能单调下降。

对于升沉,因为 $\bar{b}_{33} \neq 0$, 其传递函数分母在一般情况下有虚根,在传递函数的曲线上将呈现有阻尼的共振极值。

对于纵摇,已知 $\bar{b}_{ss} = 0$, 传递函数为实数,即 ξ_i 与波浪力 X_i 之间同位相,当分母取零时, $\omega = \sqrt{\frac{C_{ss}}{I_{ss} + a_{ss}}}$ 发生共振,幅值 ξ_i 将取无穷。

为了在波长较短时获得较理想的结果,必须增加板块数目。

在以级数表达式进行 Green 函数计算时,项数 M 与水深 H 成正比,而与计算点到奇点距离 r 成反比。故当 H 加大时,计算量线性增加,则可以取波浪的表面效应 $H = (0.5 - 1.0)\lambda$ 来控制水深的增加;当 $r \rightarrow 0$ 时, M 迅速增加,建议在近场改为依据积分形式的 Green 函数表达式进行计算,以获得改善。

参 考 文 献

- [1] 孙伯起, 1986。水动力学研究与进展 1:74—88。
- [2] 杉浦正憲, 1977。关西造船协会志, 第 164 号, 第 33—42 页。
- [3] Kim, W. D., 1966. J. Ship RES. pp. 182—191.
- [4] Garrison, C. J., 1978. Numerical Methods in Offshore Engineering. pp. 87—139.

NUMERICAL CALCULATION OF HYDRODYNAMIC COEFFICIENT FOR BUOYANT BODY IN WAVES

Li Dejun and Shen Guoguang
(Tianjin University)

Abstract

A preliminary numerical model of the buoyant drum by wave action is presented.

The model is based on the finite boundary elements method of the source distribution. A series of formulae of Green's function are used for the derivation of this model.

Our calculated results for a sphere and buoyant drum are consistent with that found in other literatures.